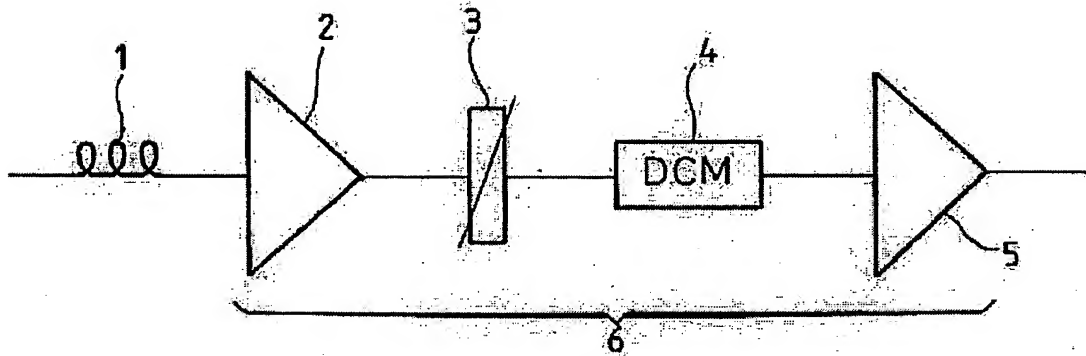
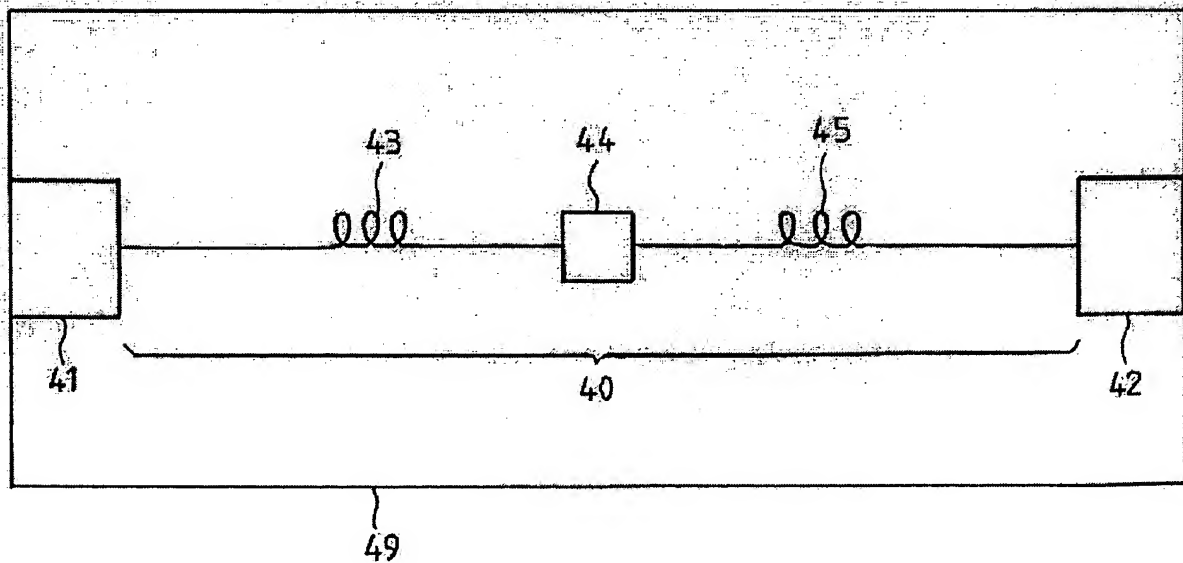


1/8

FIG_1



FIG_2



2/8

FIG. 3

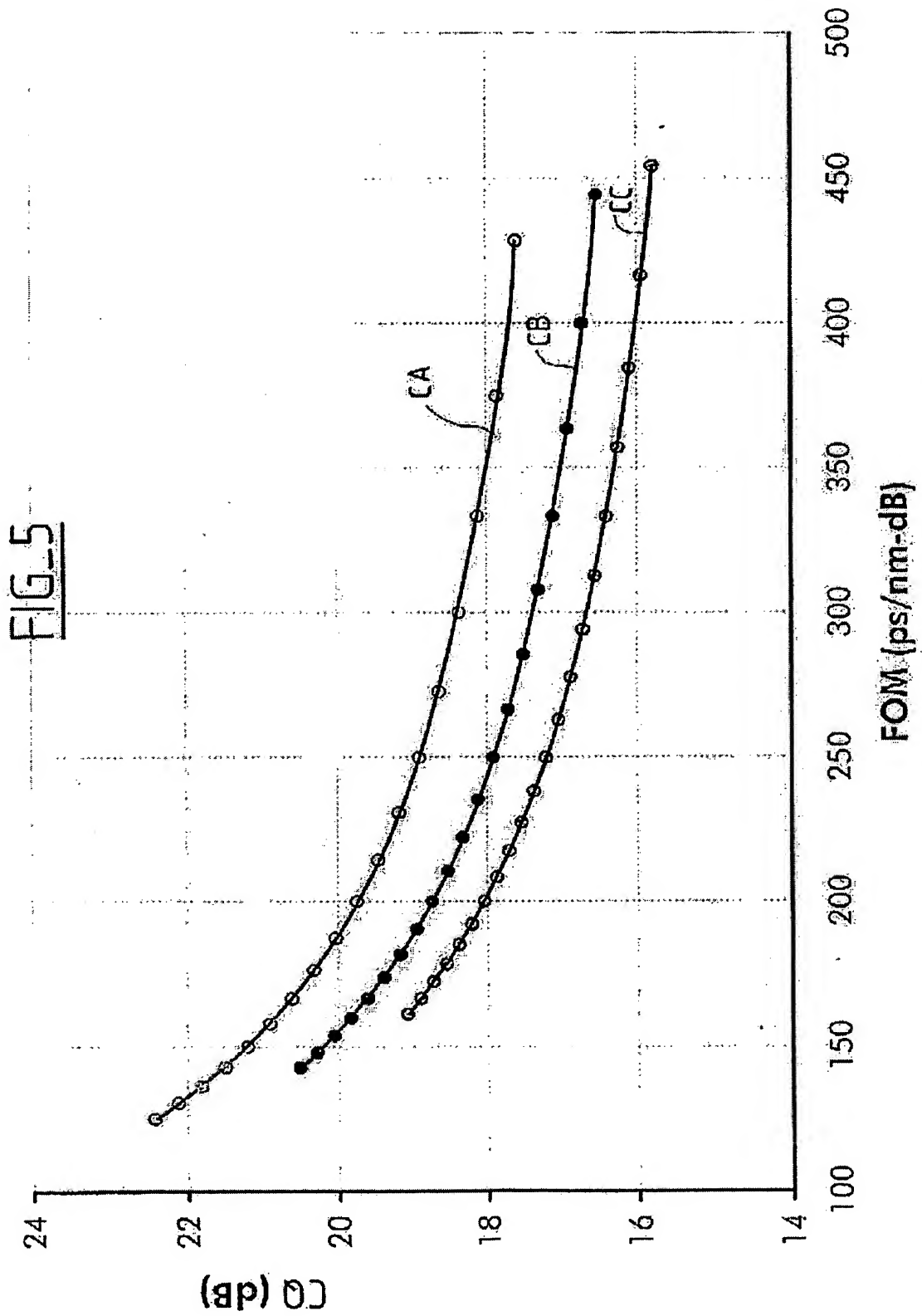
Nodules	D _{acr} (ps/nm)	S _{acr} (ps/nm ² -nm)	D _{acr} /S _{acr} (nm)	C _{acr} (dB/km)	FO _{MDC} (ps/nm ² -dB)	Γ (dB)	IL (dB)	A _{eff} (μm ²)	n ₂ (10 ⁻²⁰ m ² /W)	NLC (10 ⁻³ km/W-cB)	CQ (dB)	CQ2 (dB)	COM (10 ⁻³ dB-Ws)	CRP (%)
A1	-1360	-95	300	0,58	184	0,53	9,3	21	3	18,7	22,0	61,9	2,5	16%
A2	-1360	-95	300	0,47	202	0,50	7,7	21	3	21,3	21,0	62,5	1,6	26%
N1	-1360	-130	300	0,70	186	0,30	7,9	19	3	17,2	20,3	61,1	2,4	22%
N2	-1360	-200	300	0,95	211	0,30	7,1	18	3	12,7	18,1	59,9	2,7	22%
N3	-1360	-300	300	1,10	273	0,50	6,0	17	4	13,0	17,1	61,0	1,7	30%
N4	-1360	-300	300	1,40	214	0,50	7,3	17	4	11,5	18,0	59,9	2,8	18%
B1	-1360	-125	300	0,45	278	0,50	5,8	20	3	20,1	18,9	62,9	1,1	38%
B2	-1360	-250	300	0,75	333	0,25	4,8	18	3,8	16,2	16,7	62,1	1,1	45%
C1	-1360	-85	283	0,30	283	0,50	5,8	21	3,8	38,0	21,4	65,5	0,6	46%
C2	-1360	-150	250	0,45	333	0,50	5,1	19	4	25,4	19,1	64,5	0,6	47%

3/8

FIG. 4

Modules	Decm (ps/nm)	Decf (ps/nm-km)	Specf (ps/nm ² -km)	Ddecf/Specf (nm)	αdecf (pS/km)	FOMdecf (ps/nm-de)	T ⁺ (ds)	IL (dB)	A _{eff} (μm ²)	n ₂ (10 ⁻²⁰ m ² /W)	NLC (10 ⁻²⁰ m ² /W-de)	CQ (dB)	CQ2 (dB)	GOM (10 ⁻²⁰ W/m)	CRP (%)
N1	-680	-115	-0.75	154	0.90	128	0.50	6.3	15	3	14.0	17.8	66.2	3.5	28.9%
N2	-680	-160	-1.04	154	1.30	123	0.75	7.0	15	3	9.3	16.7	64.8	5.3	16.0%
N3	-680	-220	-1.43	154	1.20	183	0.75	5.2	15	3	8.1	14.3	66.3	3.3	27.0%
N4	-680	-300	-1.95	154	1.42	211	0.75	4.7	14	3	6.6	12.9	66.4	3.1	27.1%
N5	-680	-300	-1.95	154	1.50	200	0.75	4.9	14	3	6.5	13.0	66.0	3.5	24.9%
B1	-680	-230	-2.20	105	0.60	383	0.30	2.4	19	3	8.2	11.5	71.0	1.0	68.8%
B2	-680	-175	-3.18	55	0.60	292	0.62	3.4	15	3	12.3	14.3	71.0	1.0	52.7%
B3	-680	-145	-1.38	105	0.55	264	0.42	3.4	15	3	14.8	15.1	70.8	1.0	54.8%
B4	-680	-170	-1.62	105	0.75	227	0.29	3.6	19	3	9.8	13.5	67.7	2.1	47.0%
C1	-680	-85	-0.71	120	0.30	283	0.70	3.8	19	4	25.0	17.8	74.2	0.5	57.3%
C2	-680	-145	-1.38	105	0.50	290	0.70	3.7	15	4	15.0	16.5	73.2	0.6	54.7%
C3	-680	-230	-2.55	90	0.80	255	0.70	4.1	14	4	12.5	15.0	70.4	1.2	46.0%
C4	-680	-145	-1.45	100	0.64	228	0.55	4.1	18	4	15.3	15.9	70.2	1.3	48.7%
C5	-680	-290	-2.90	100	0.90	322	0.50	3.1	15.7	4	9.7	13.0	70.7	1.1	52.1%
C6	-680	-327	-3.75	90	0.85	356	0.55	2.8	15	4	13.8	14.2	74.0	0.8	63.4%
C7	-680	-376	-2.75	100	0.94	400	0.45	2.6	13.7	4	9.5	12.4	72.2	0.8	59.5%

4/8



5/8

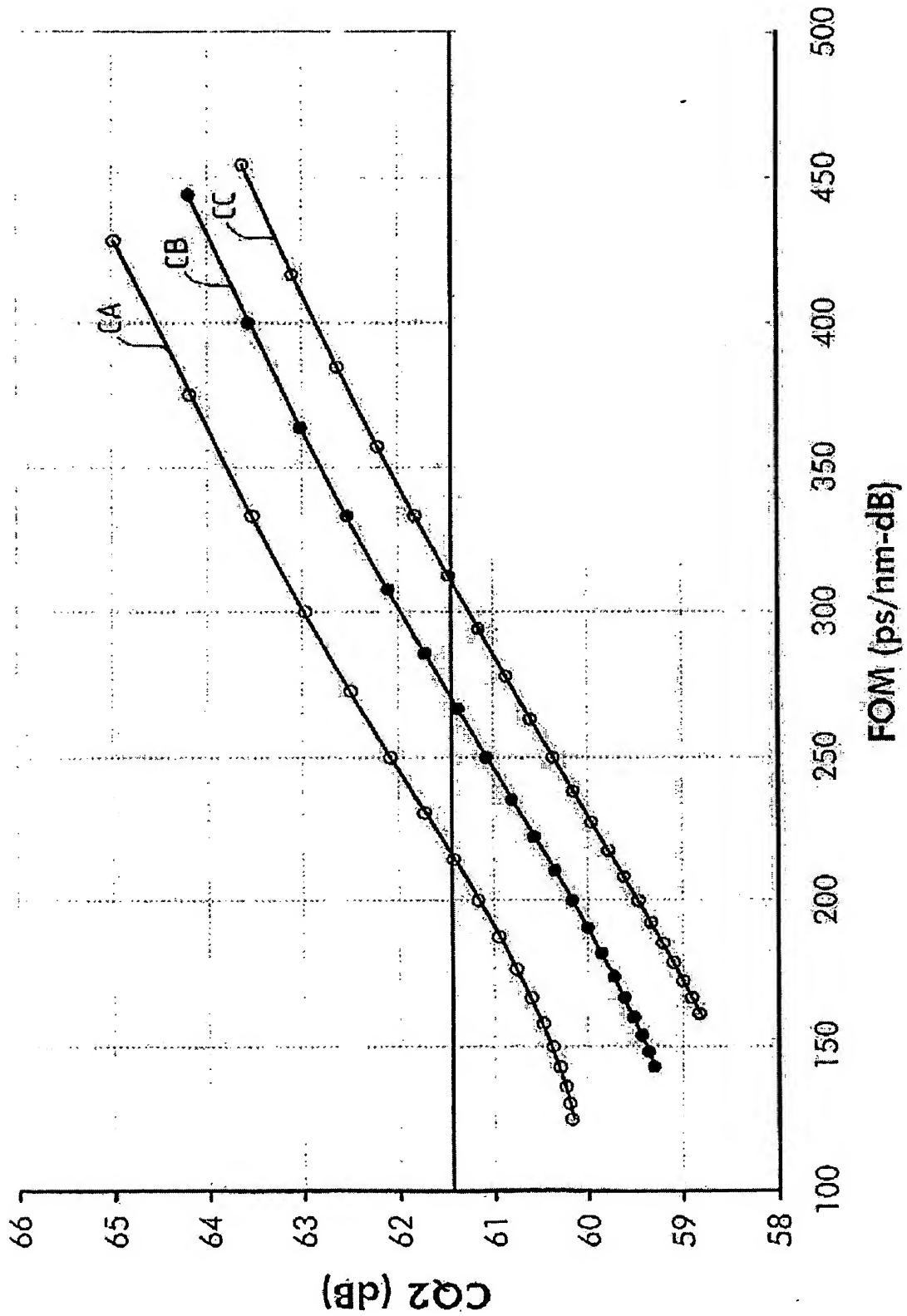


FIG. 6

6/8

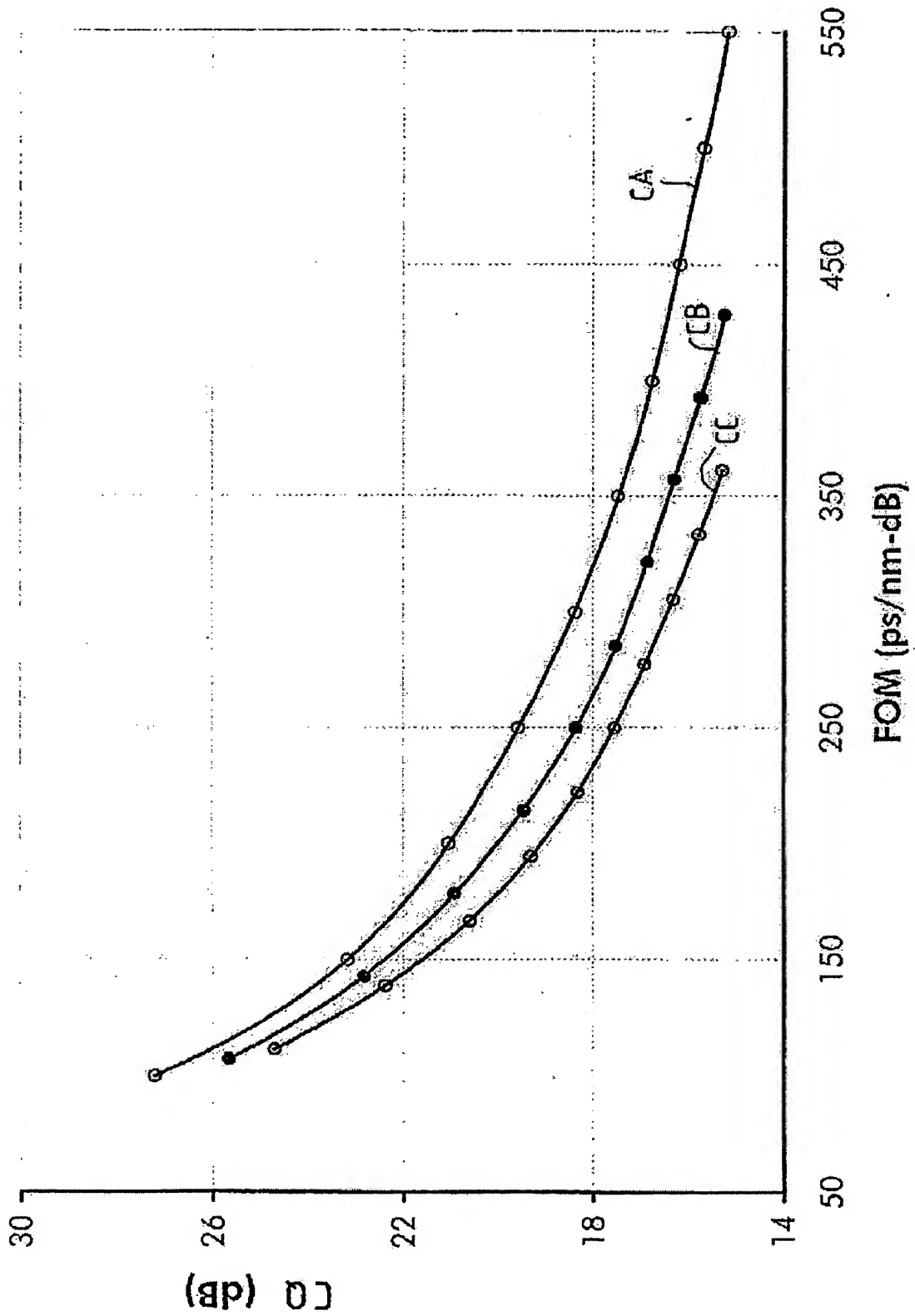


FIG. 7

7/8

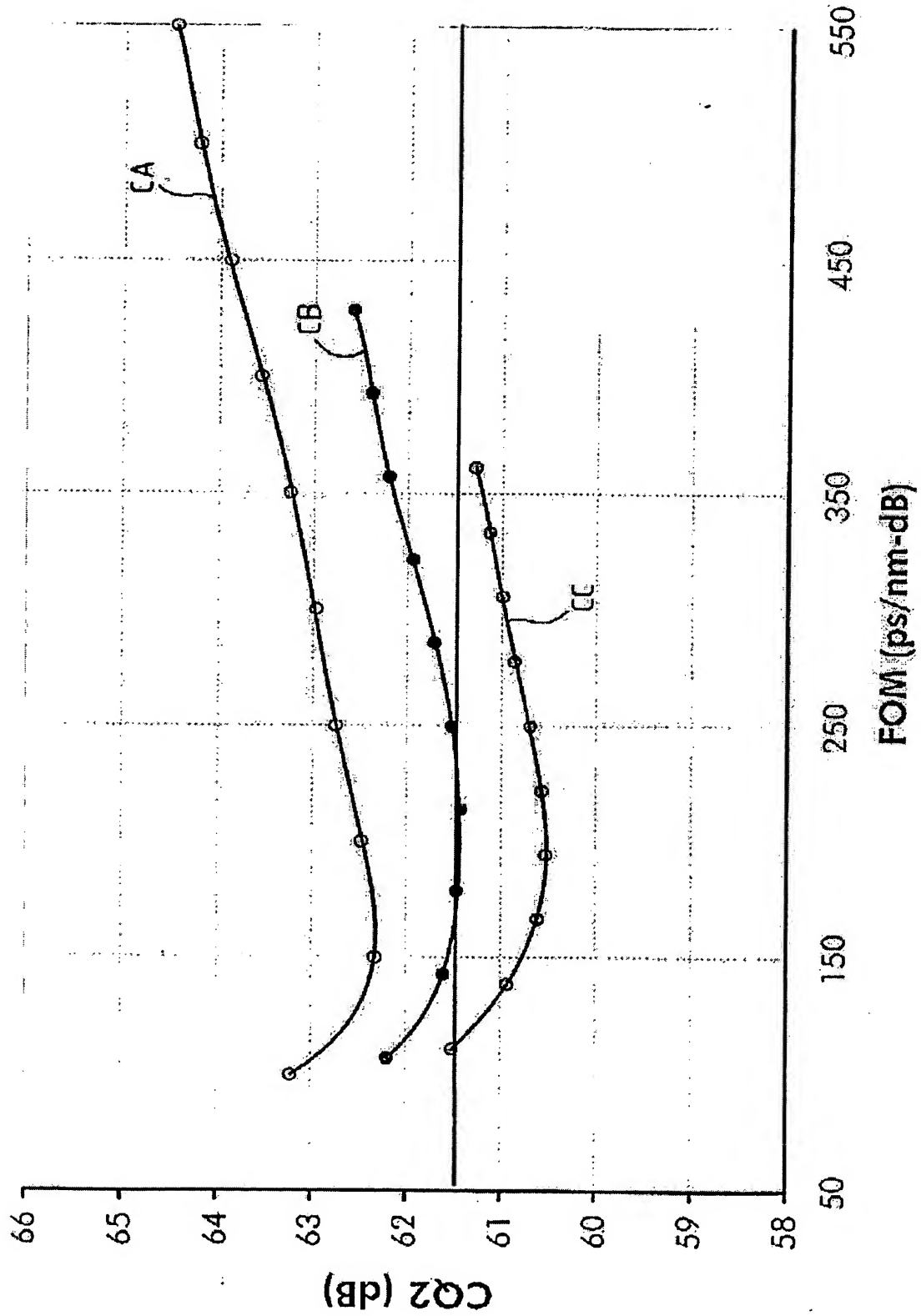
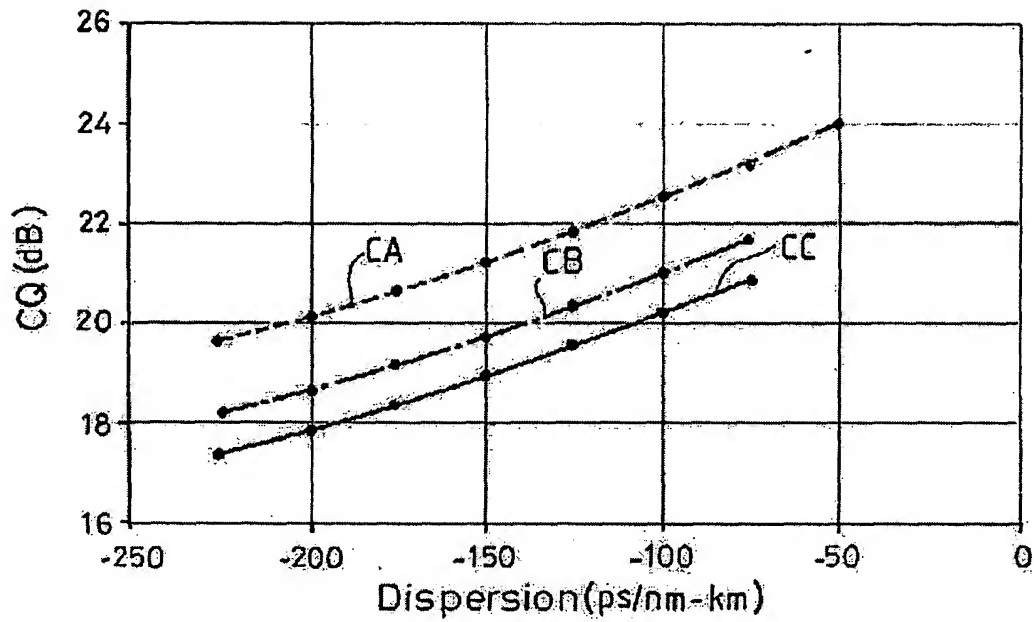
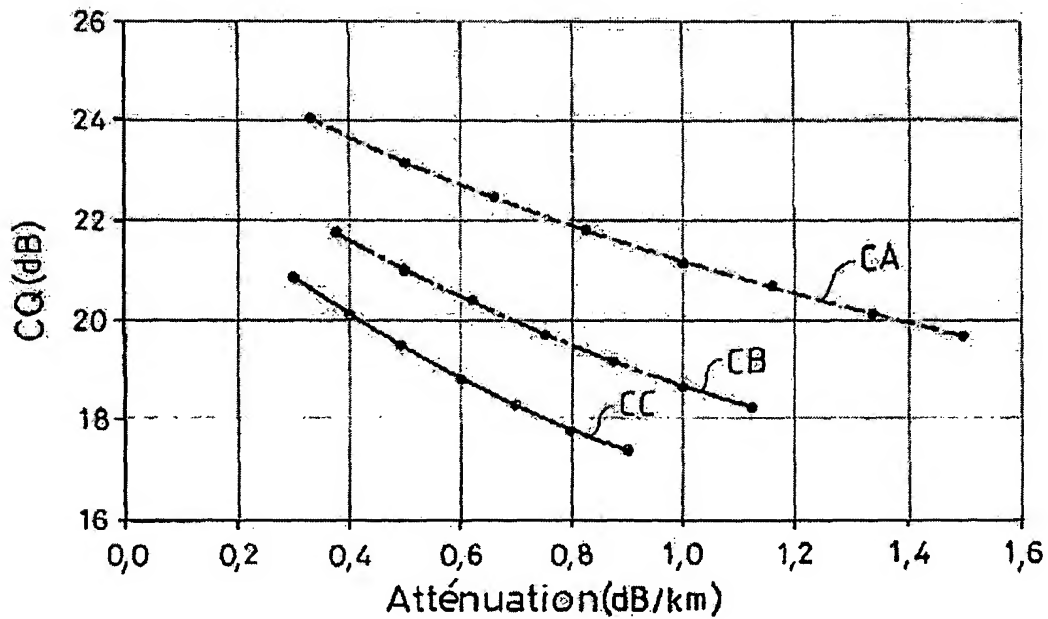


FIG-8

8/8



FIG_9



FIG_10